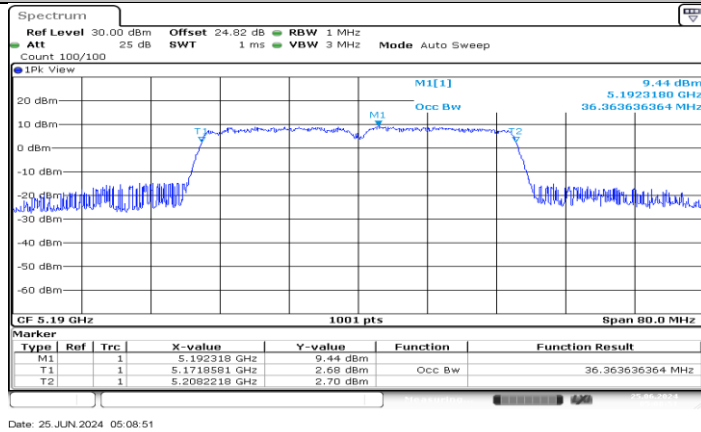
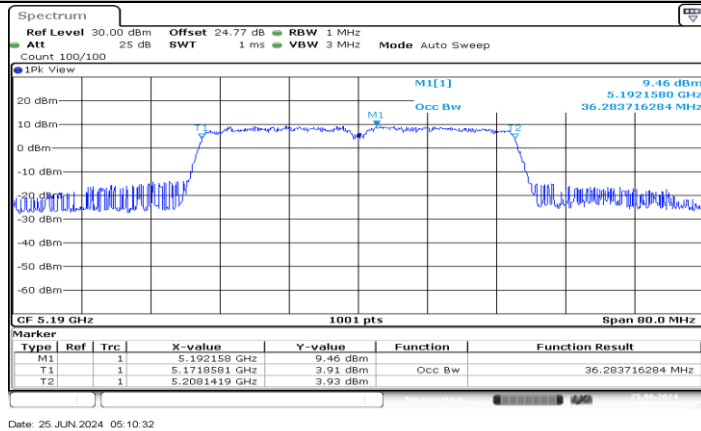


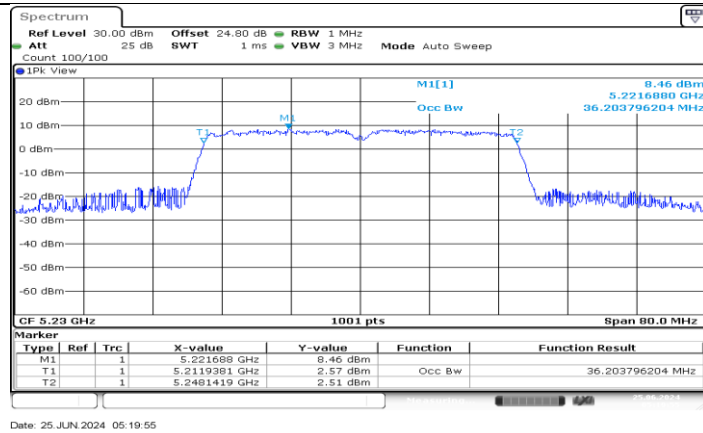
11N20MIMO_Ant2_5825



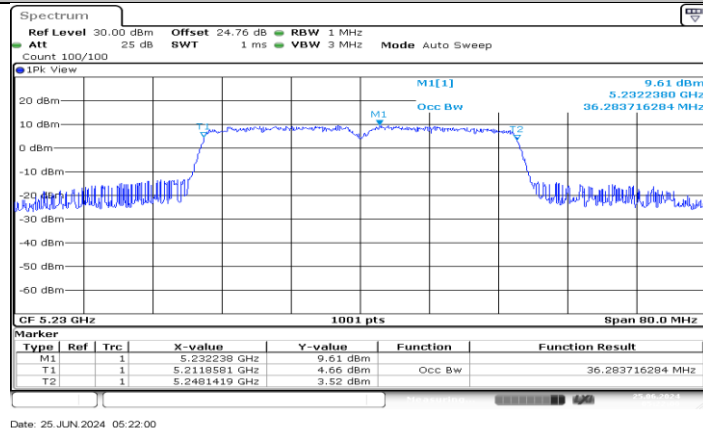
11N40MIMO_Ant1_5190



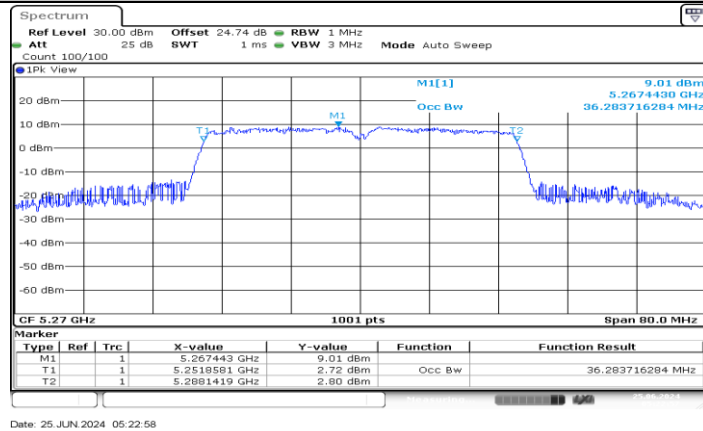
11N40MIMO_Ant2_5190



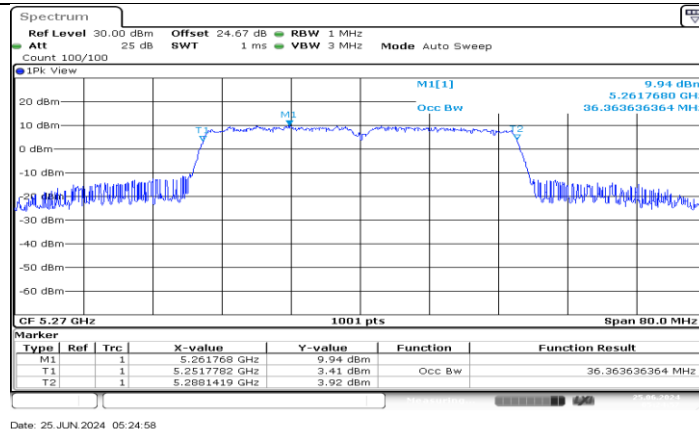
11N40MIMO_Ant1_5230



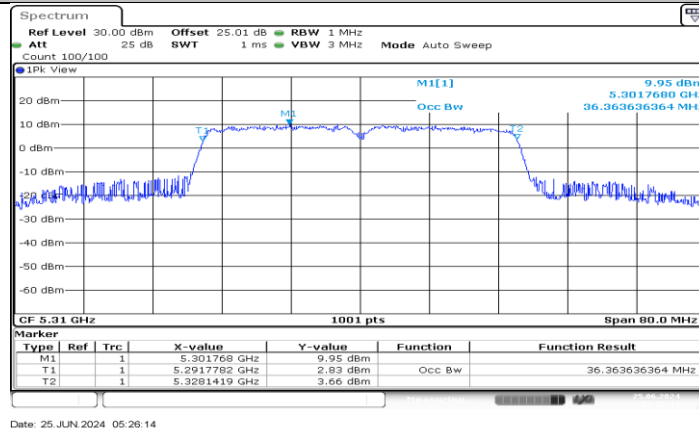
11N40MIMO_Ant2_5230



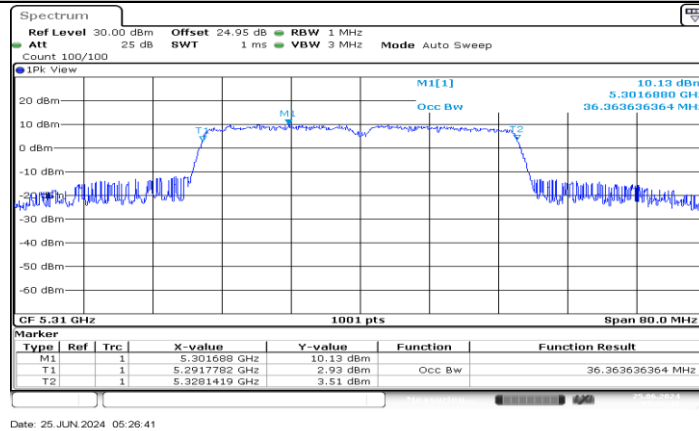
11N40MIMO_Ant1_5270



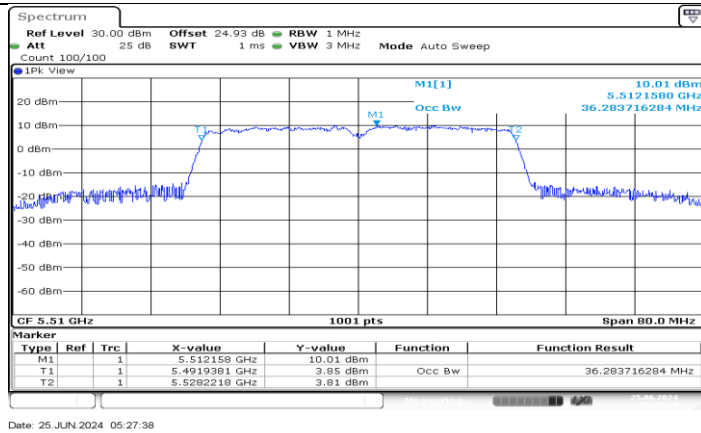
11N40MIMO_Ant2_5270



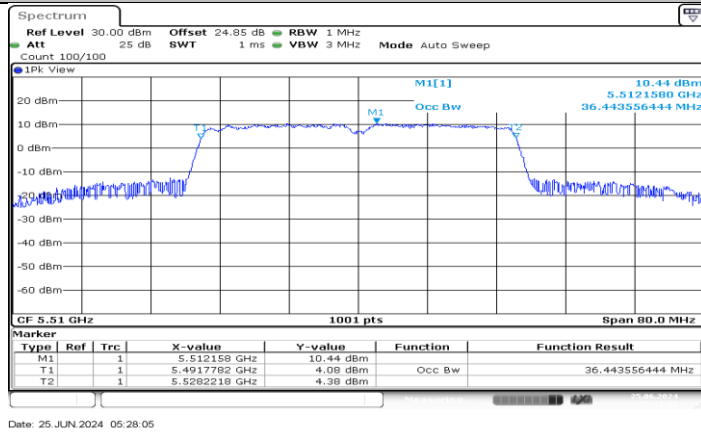
11N40MIMO_Ant1_5310



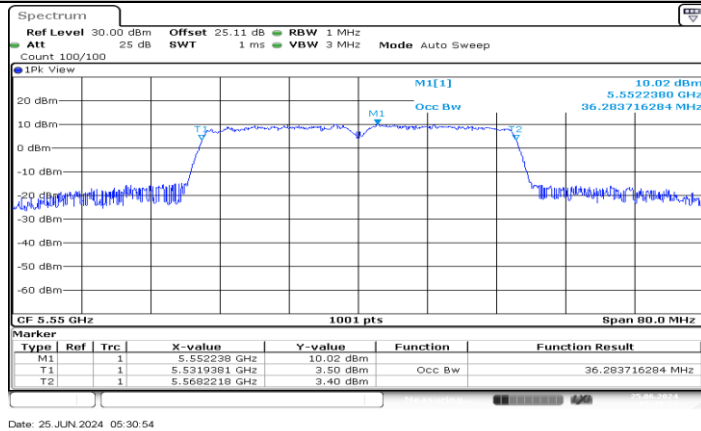
11N40MIMO_Ant2_5310



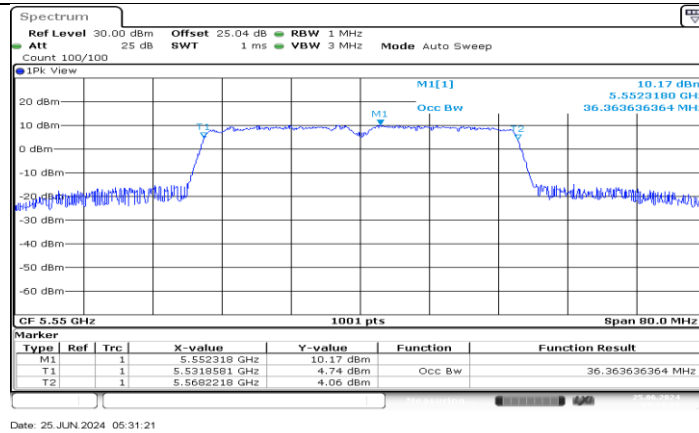
11N40MIMO_Ant1_5510



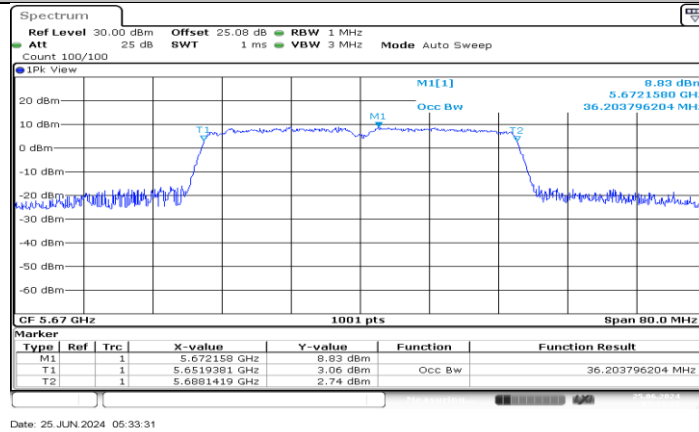
11N40MIMO_Ant2_5510



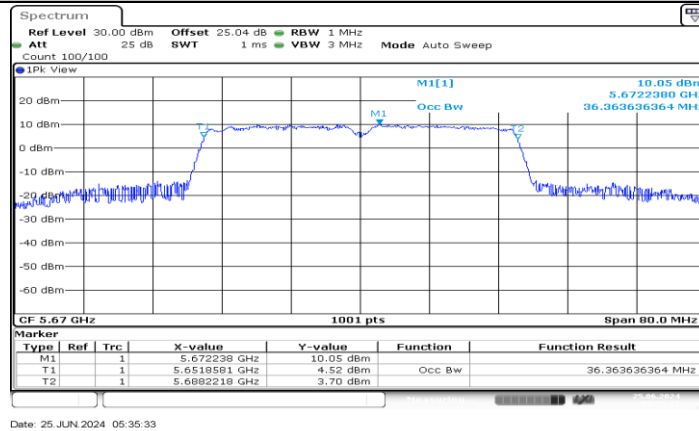
11N40MIMO_Ant1_5550



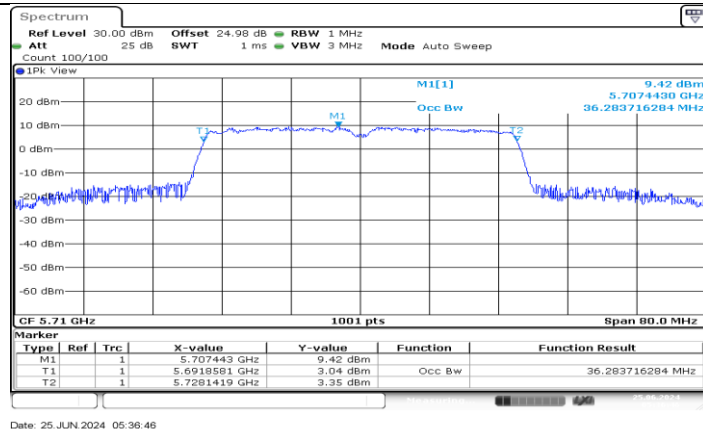
11N40MIMO_Ant2_5550



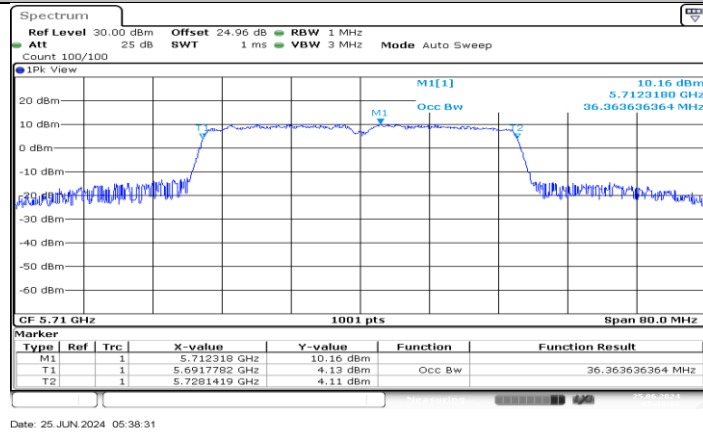
11N40MIMO_Ant1_5670



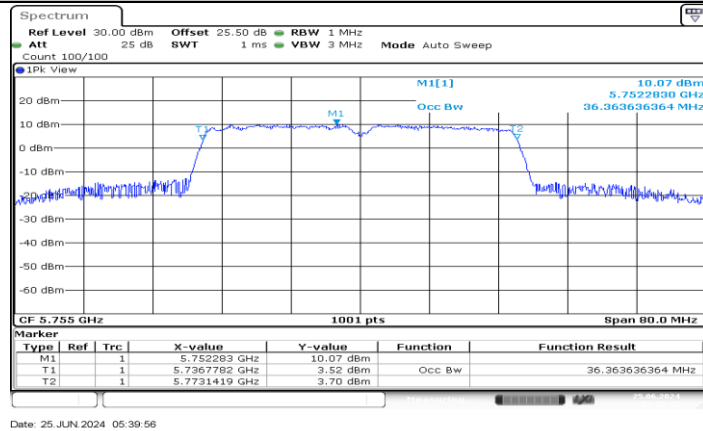
11N40MIMO_Ant2_5670



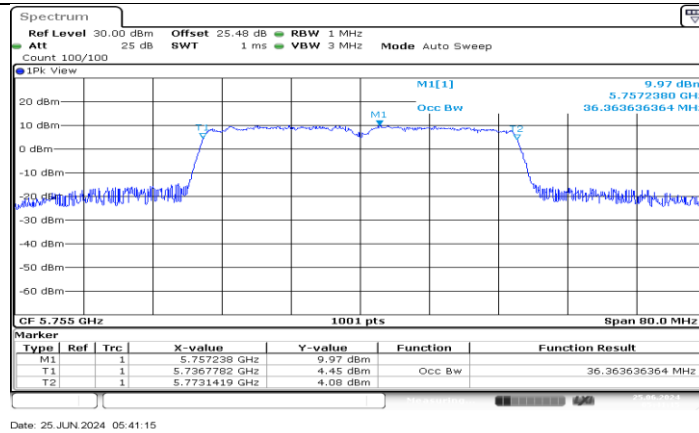
11N40MIMO_Ant1_5710



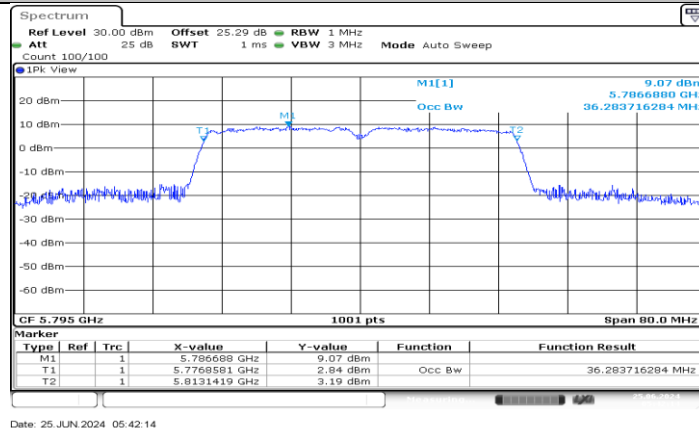
11N40MIMO_Ant2_5710



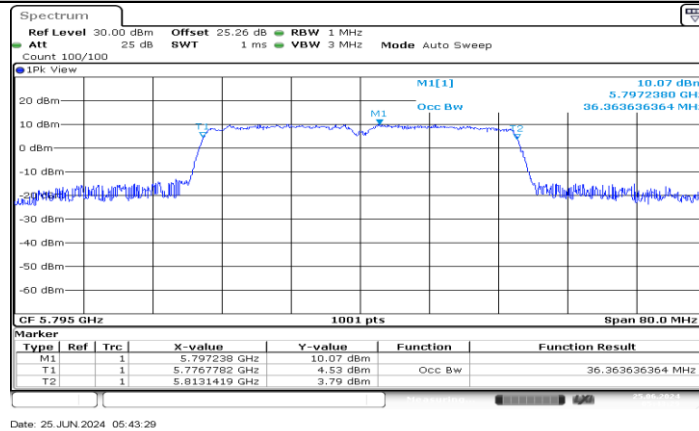
11N40MIMO_Ant1_5755



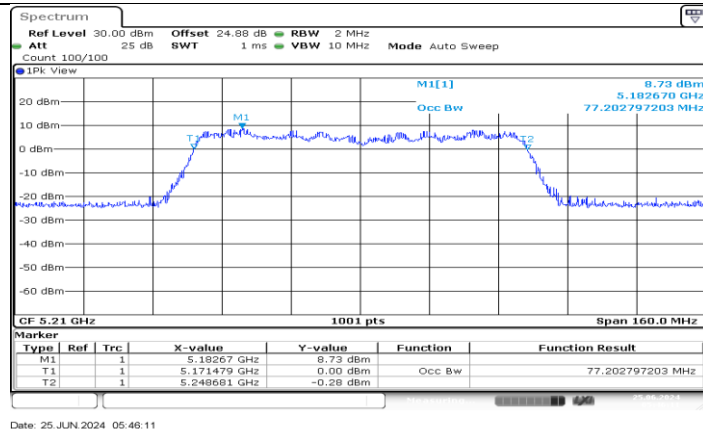
11N40MIMO_Ant2_5755



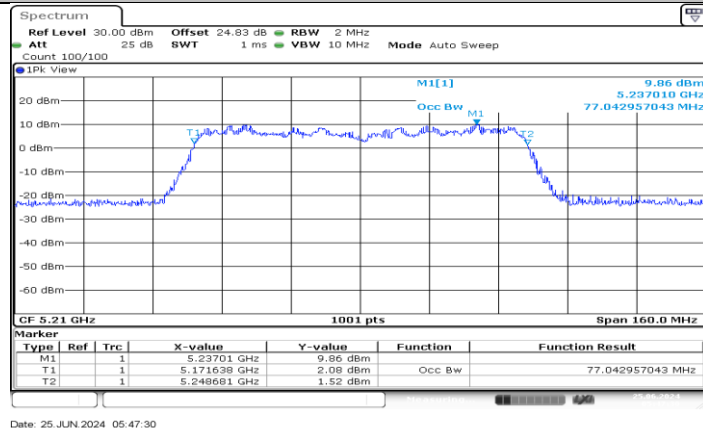
11N40MIMO_Ant1_5795



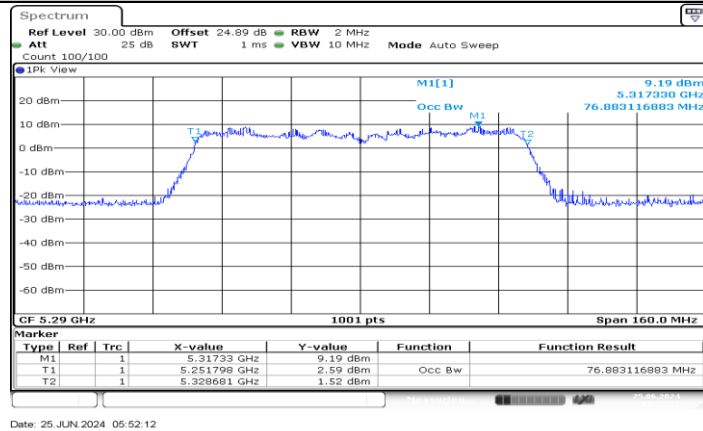
11N40MIMO_Ant2_5795



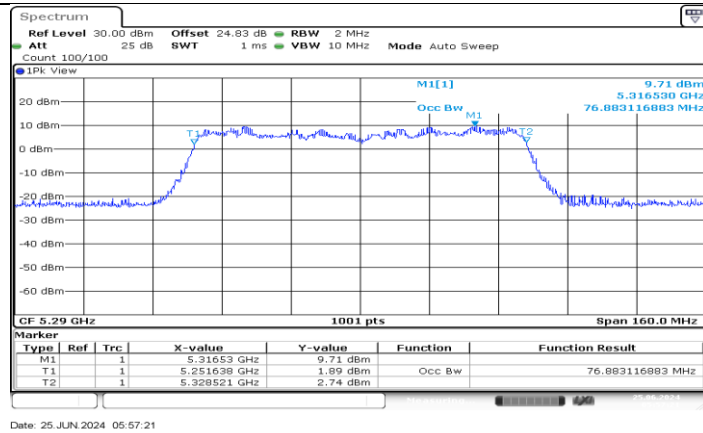
11AC80MIMO_Ant1_5210



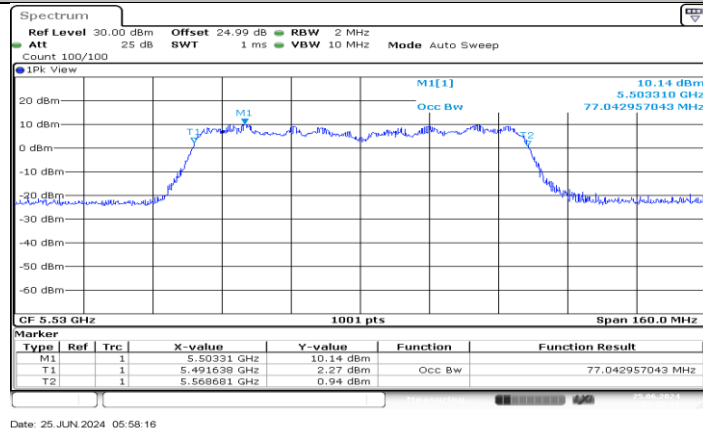
11AC80MIMO_Ant2_5210



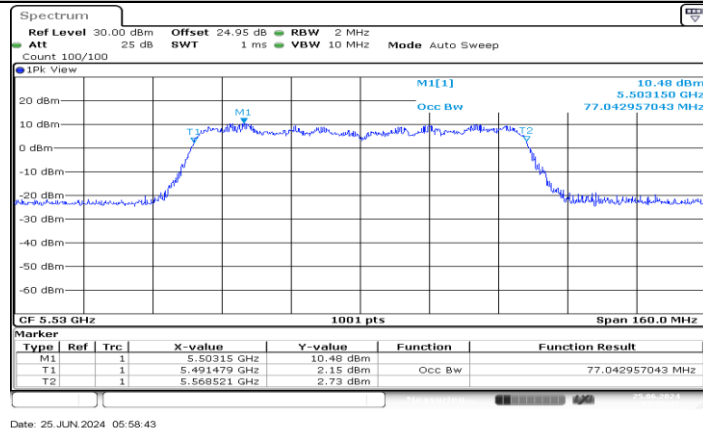
11AC80MIMO_Ant1_5290



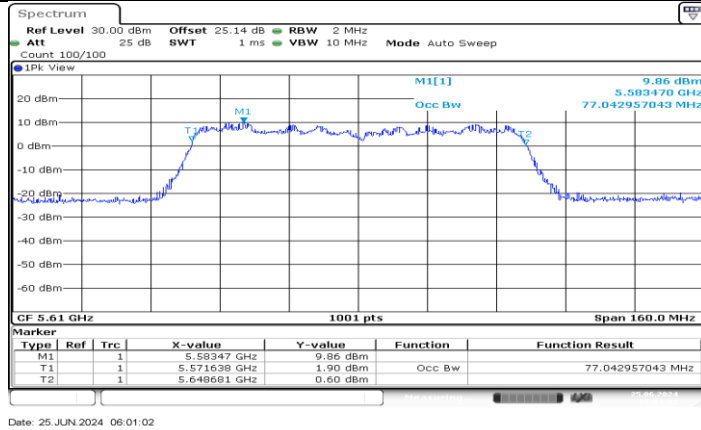
11AC80MIMO_Ant2_5290



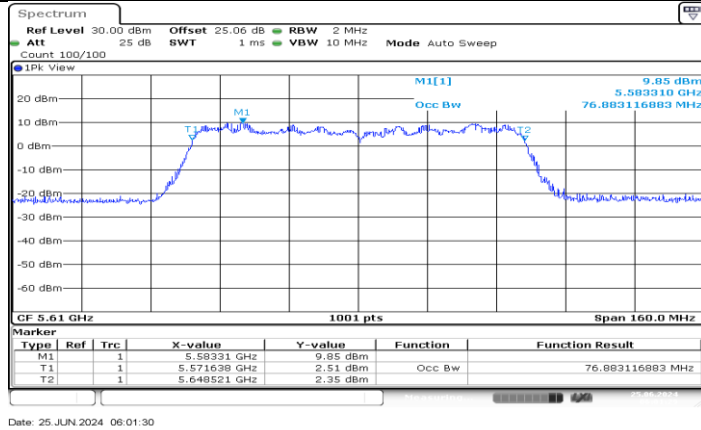
11AC80MIMO_Ant1_5530



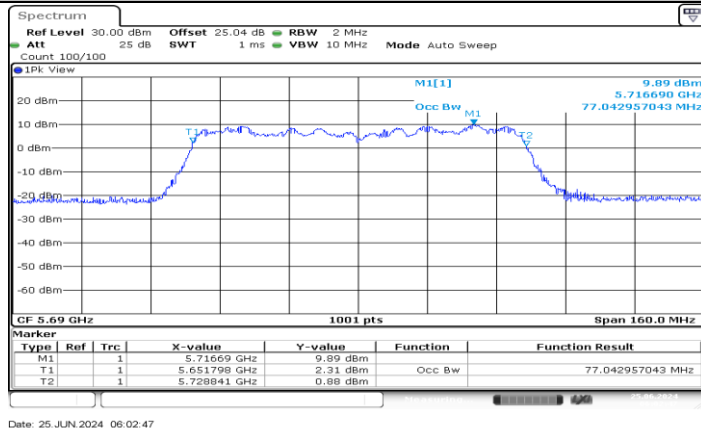
11AC80MIMO_Ant2_5530



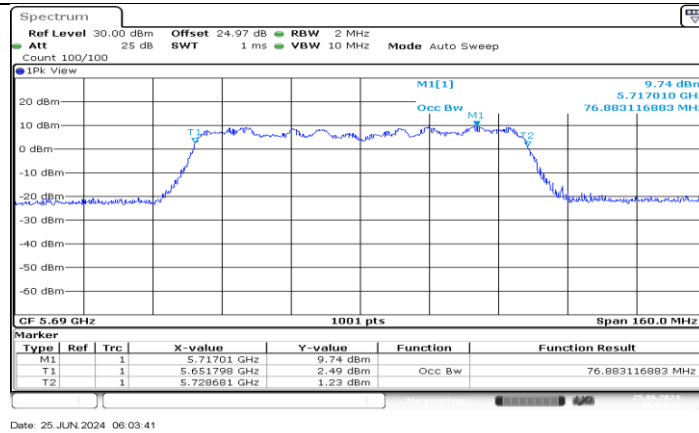
11AC80MIMO_Ant1_5610



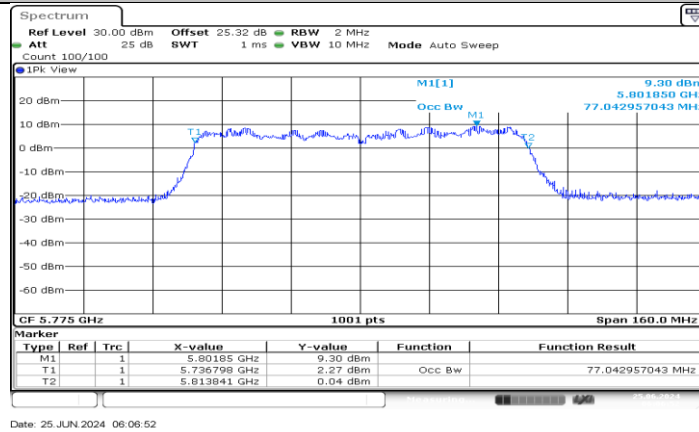
11AC80MIMO_Ant2_5610



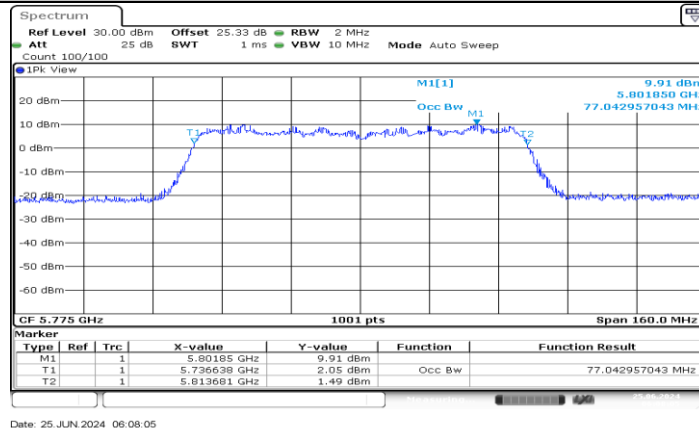
11AC80MIMO_Ant1_5690



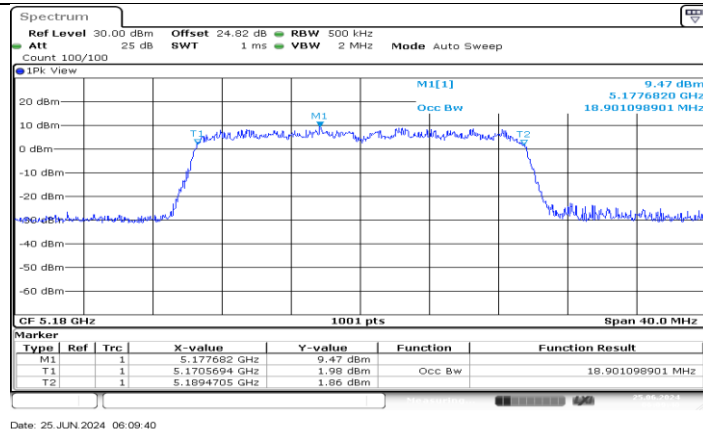
11AC80MIMO_Ant2_5690



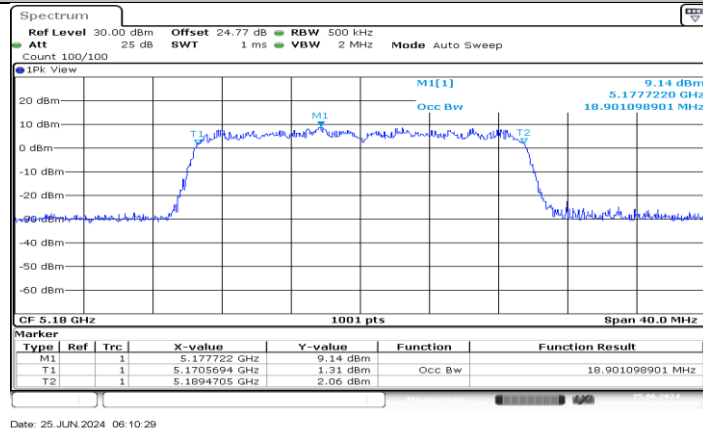
11AC80MIMO_Ant1_5775



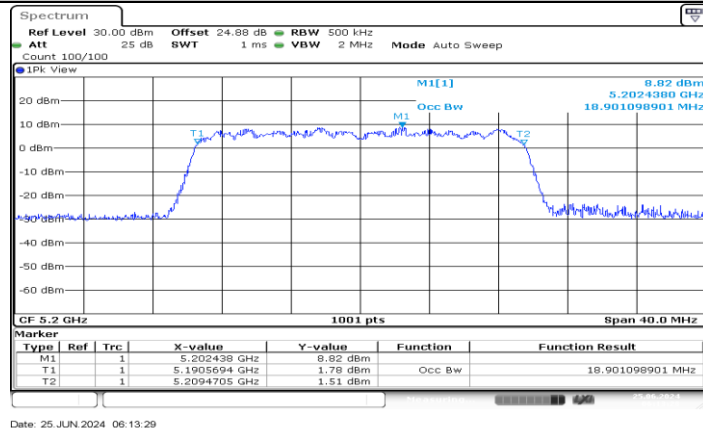
11AC80MIMO_Ant2_5775



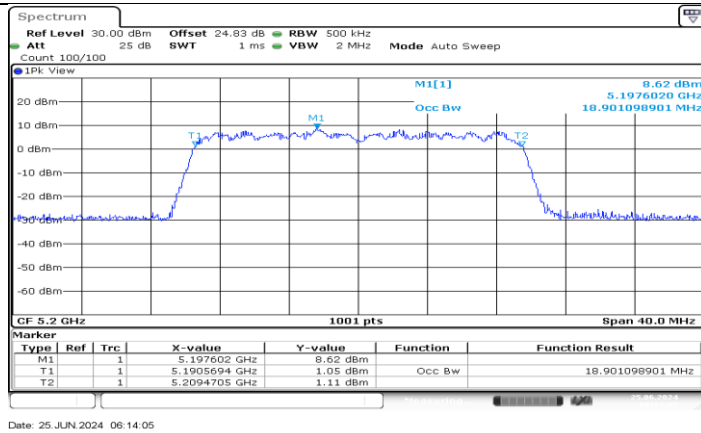
11AX20MIMO_Ant1_5180



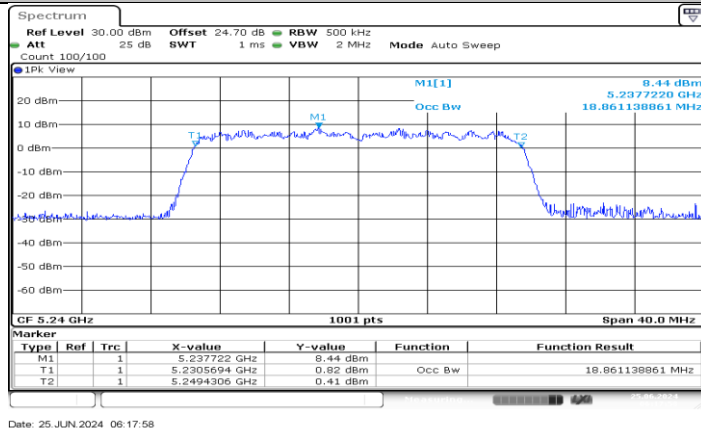
11AX20MIMO_Ant2_5180



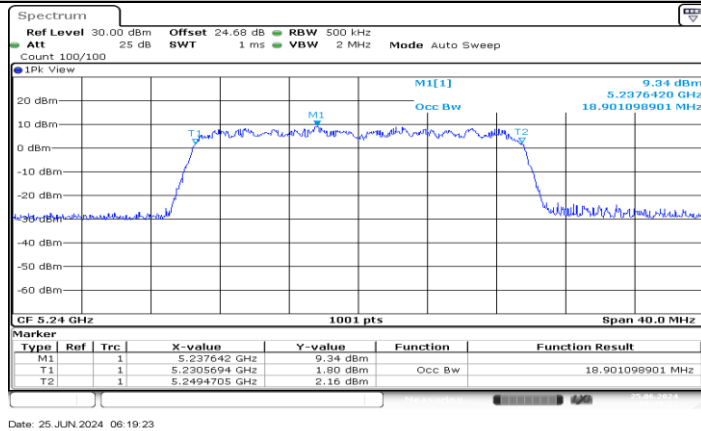
11AX20MIMO_Ant1_5200



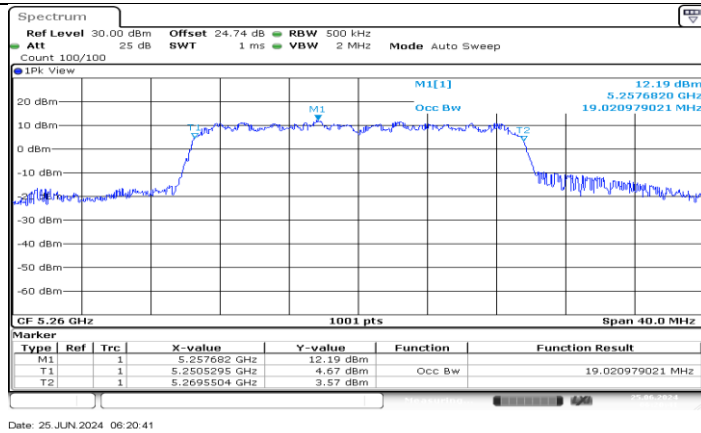
11AX20MIMO_Ant2_5200



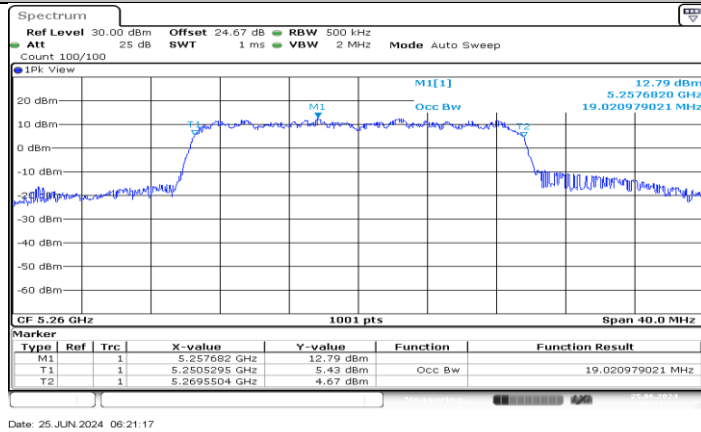
11AX20MIMO_Ant1_5240



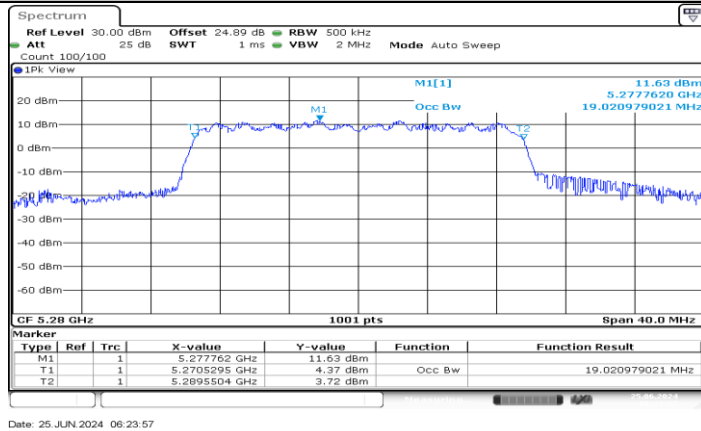
11AX20MIMO_Ant2_5240



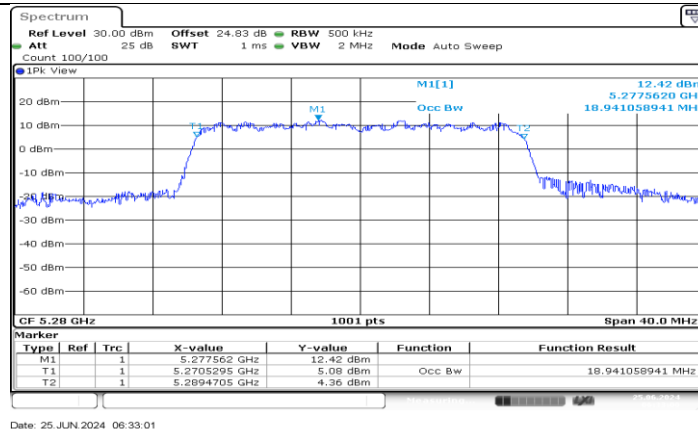
11AX20MIMO_Ant1_5260



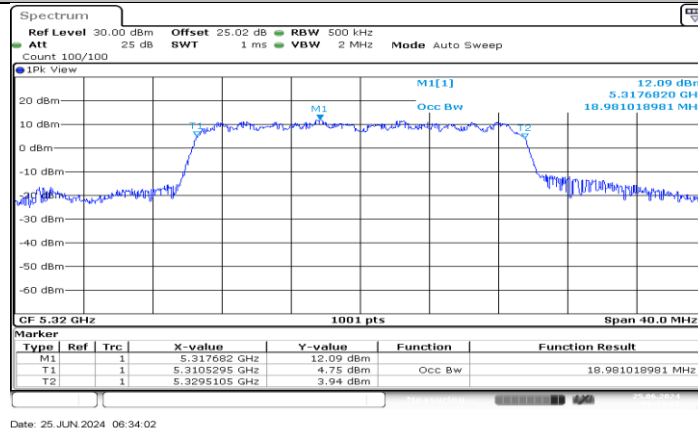
11AX20MIMO_Ant2_5260



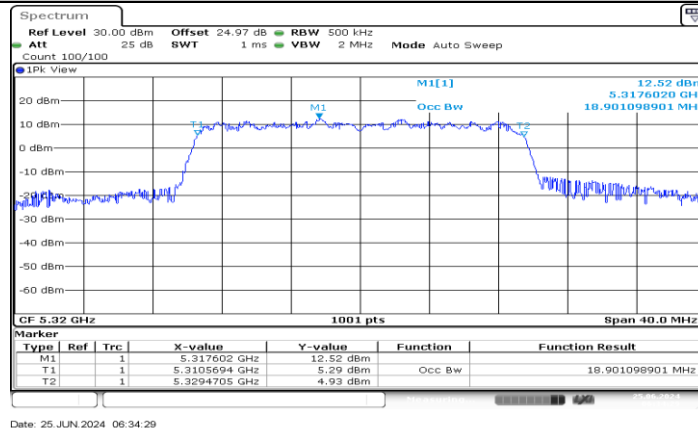
11AX20MIMO_Ant1_5280



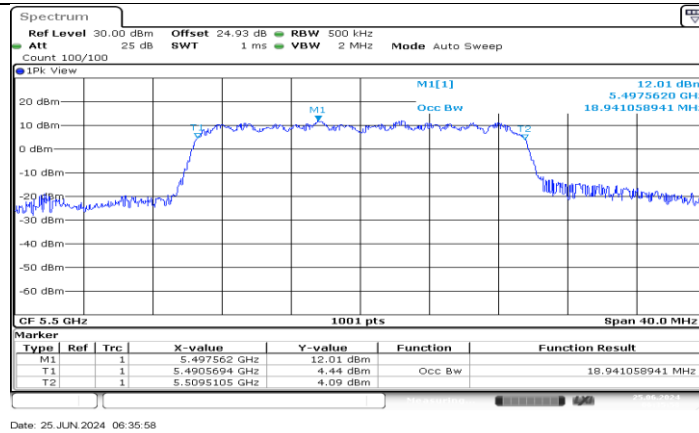
11AX20MIMO_Ant2_5280



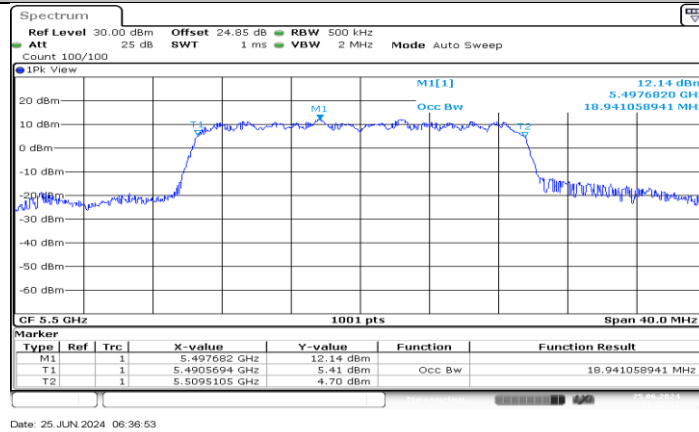
11AX20MIMO_Ant1_5320



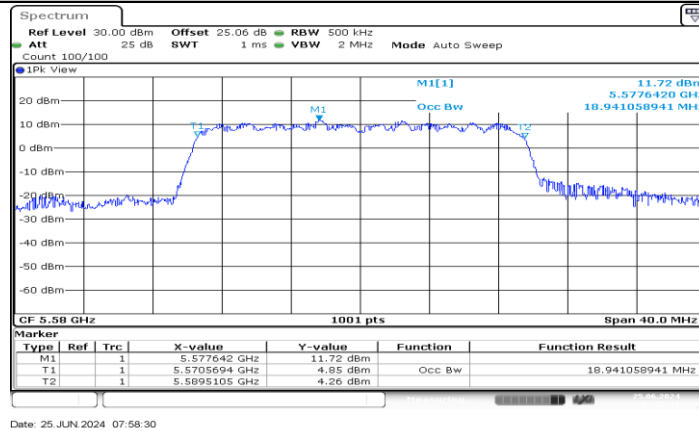
11AX20MIMO_Ant2_5320



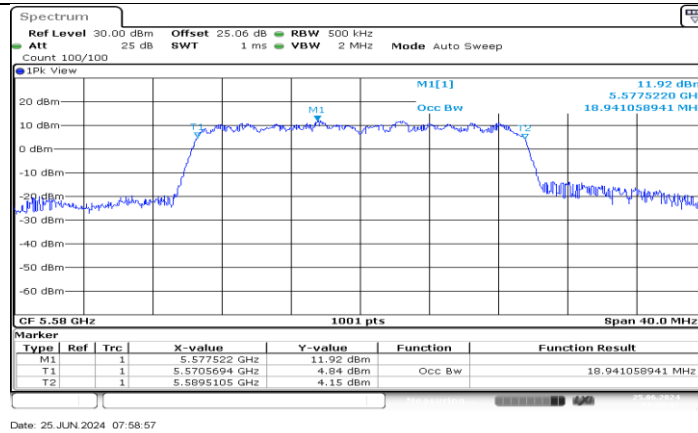
11AX20MIMO_Ant1_5500



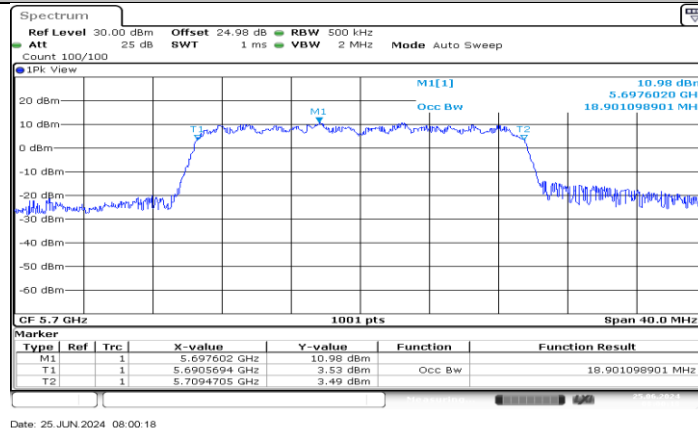
11AX20MIMO_Ant2_5500



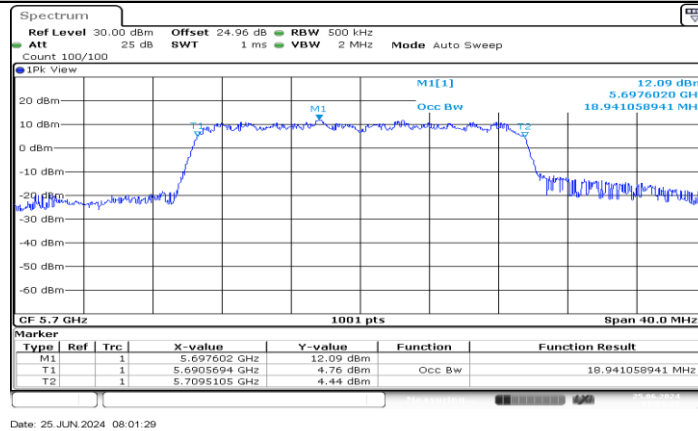
11AX20MIMO_Ant1_5580



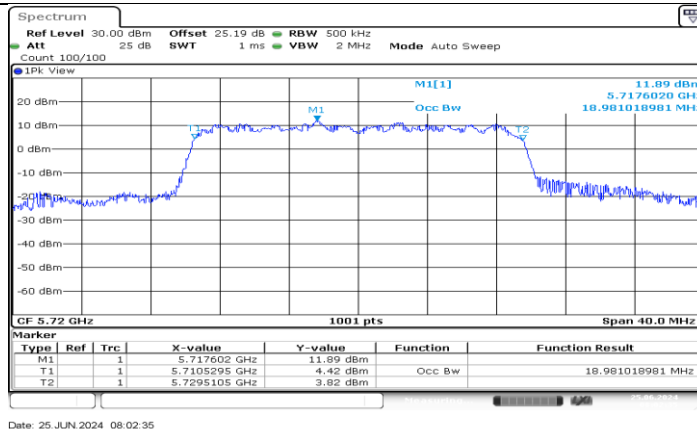
11AX20MIMO_Ant2_5580



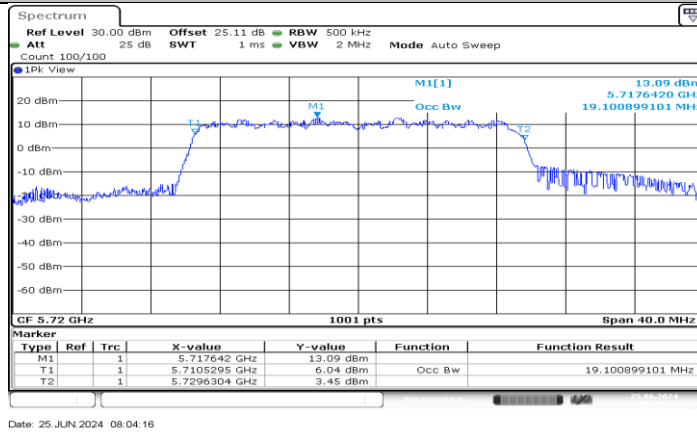
11AX20MIMO_Ant1_5700



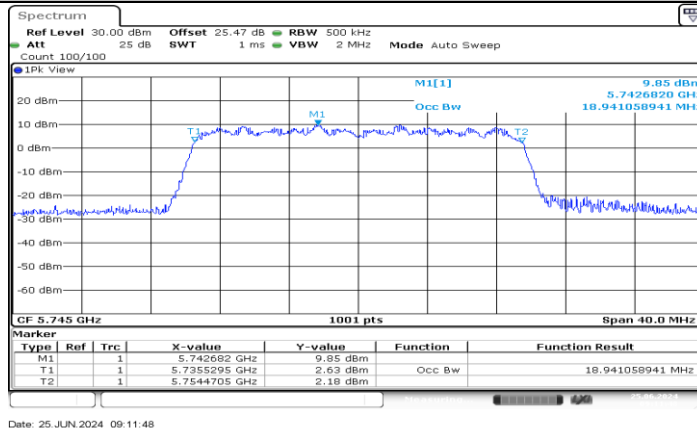
11AX20MIMO_Ant2_5700



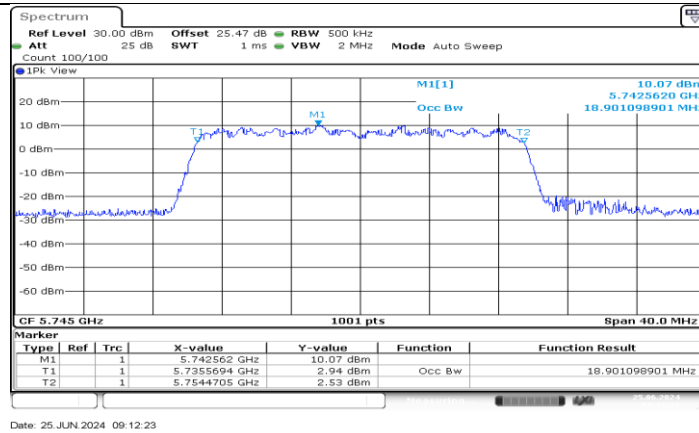
11AX20MIMO_Ant1_5720



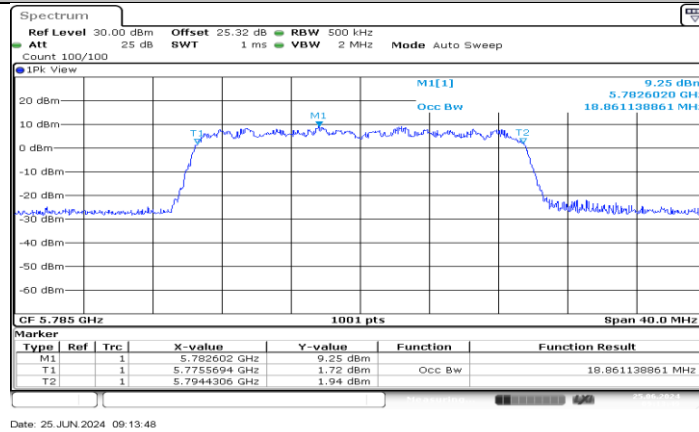
11AX20MIMO_Ant2_5720



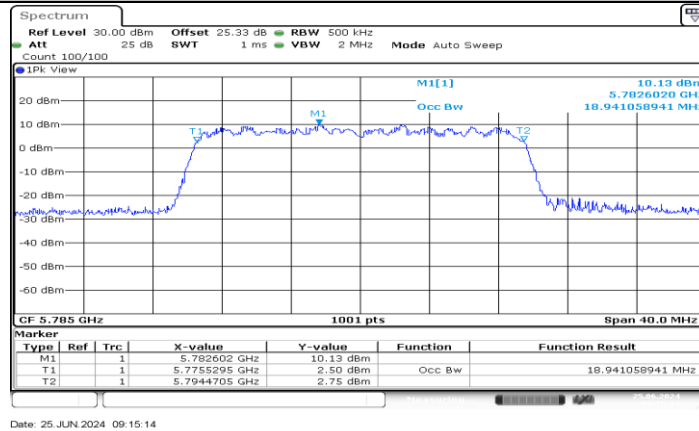
11AX20MIMO_Ant1_5745



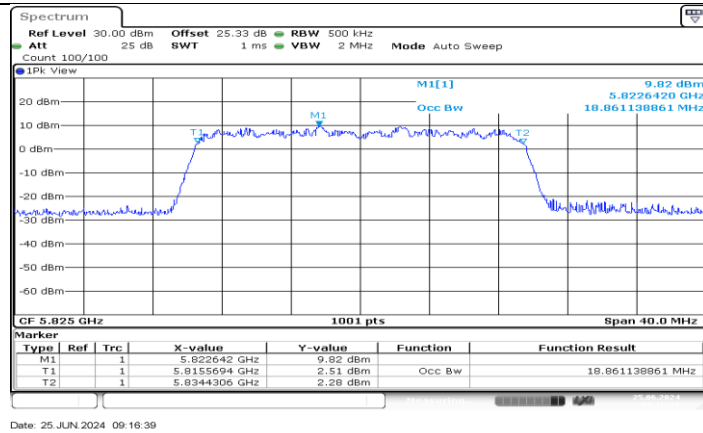
11AX20MIMO_Ant2_5745



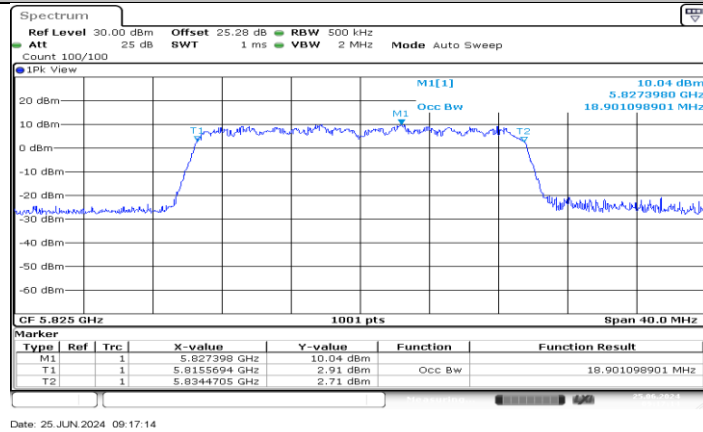
11AX20MIMO_Ant1_5785



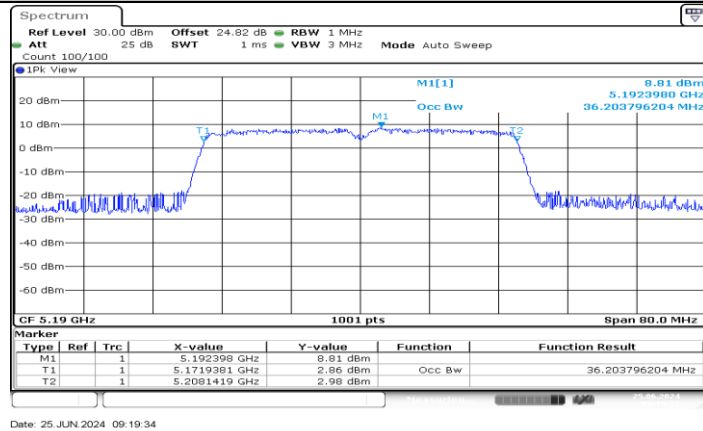
11AX20MIMO_Ant2_5785



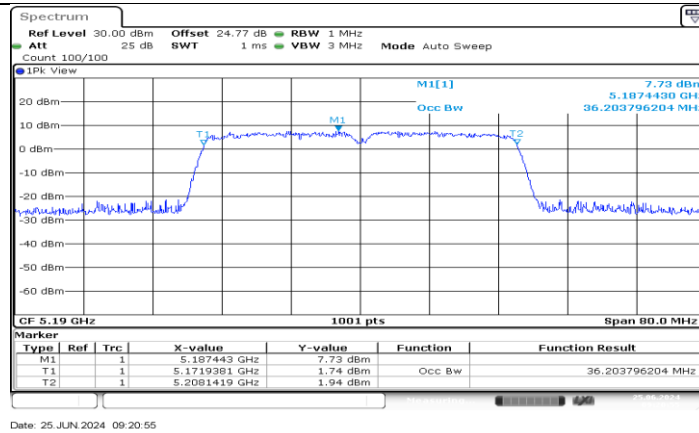
11AX20MIMO_Ant1_5825



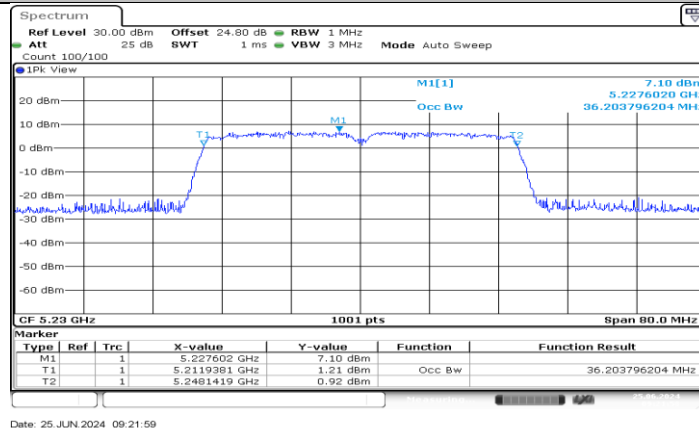
11AX20MIMO_Ant2_5825



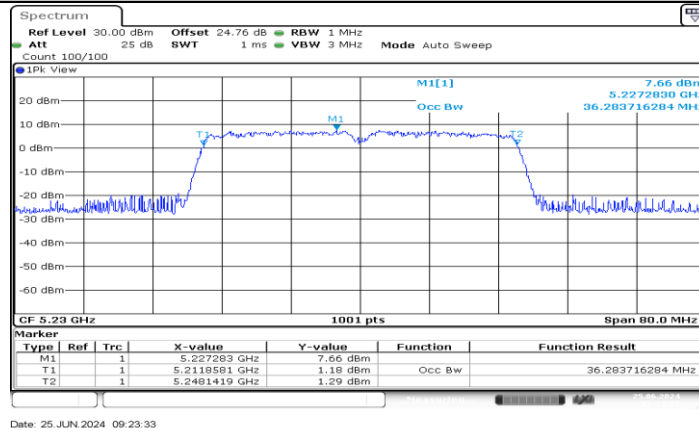
11AX40MIMO_Ant1_5190



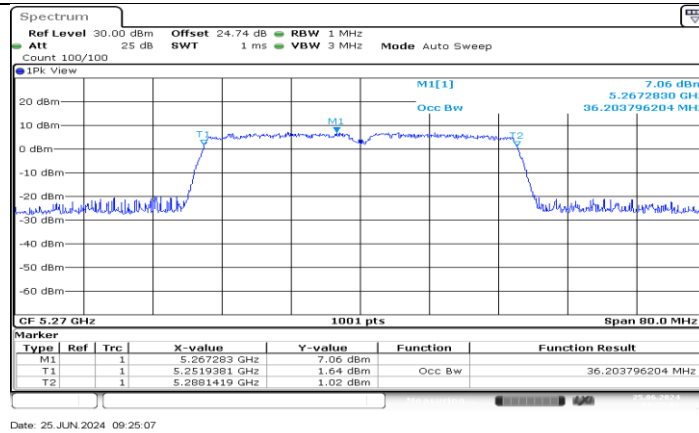
11AX40MIMO_Ant2_5190



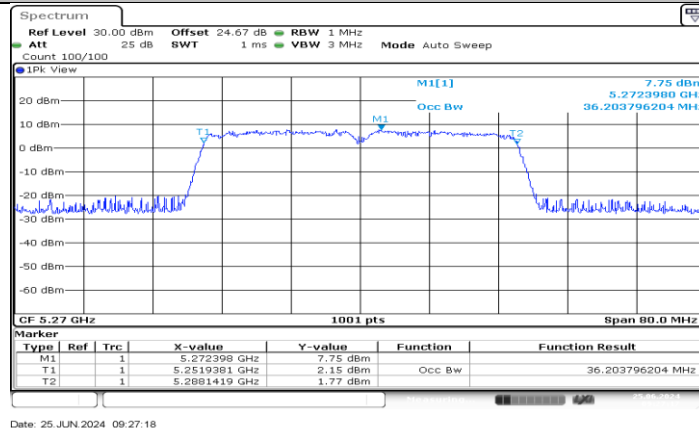
11AX40MIMO_Ant1_5230



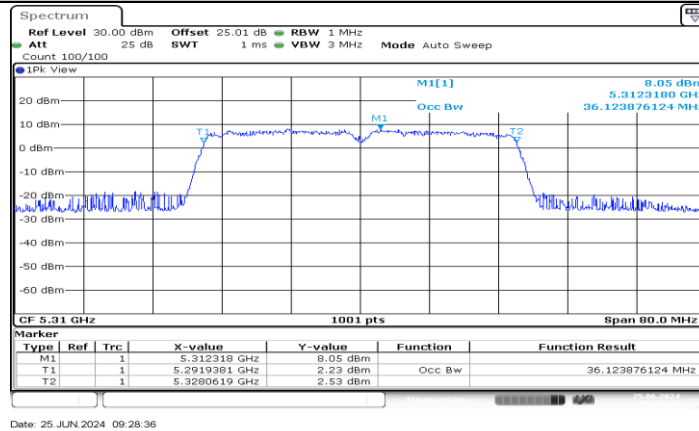
11AX40MIMO_Ant2_5230



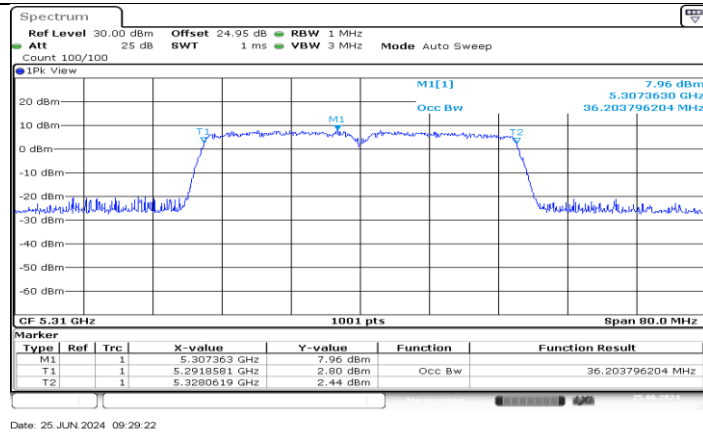
11AX40MIMO_Ant1_5270



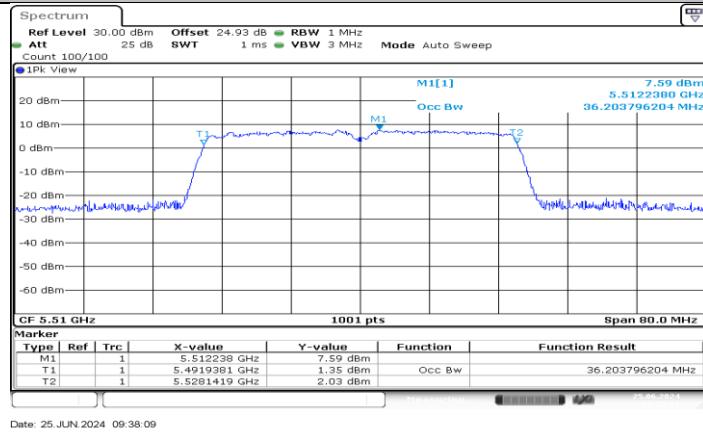
11AX40MIMO_Ant2_5270



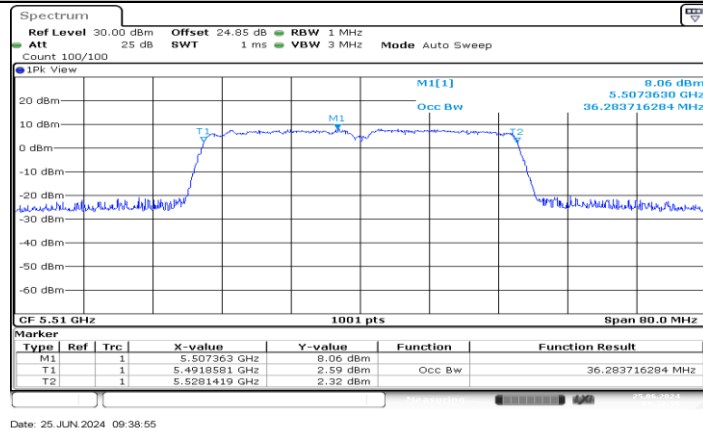
11AX40MIMO_Ant1_5310



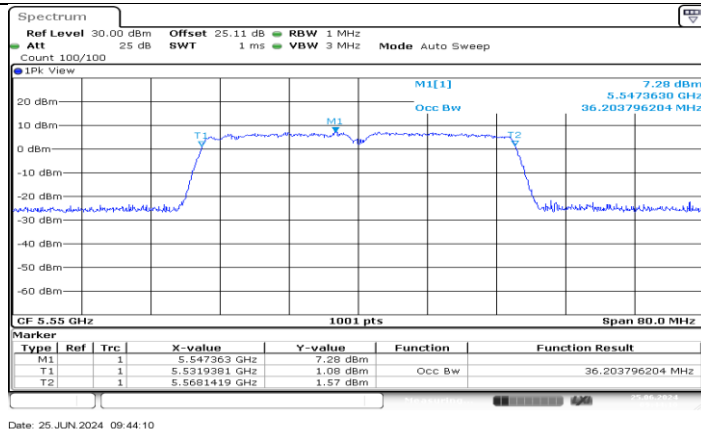
11AX40MIMO_Ant2_5310



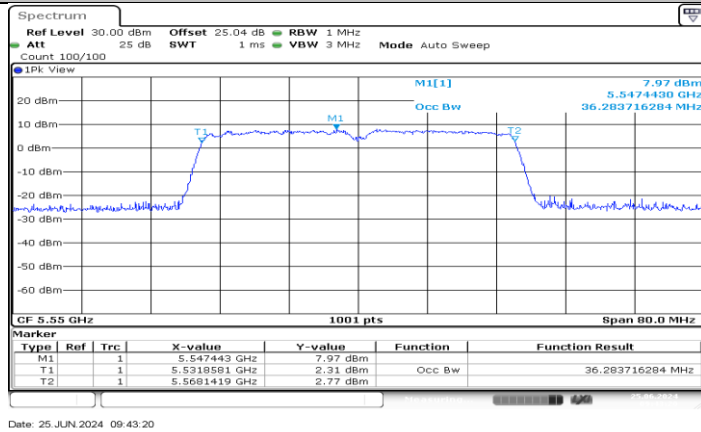
11AX40MIMO_Ant1_5510



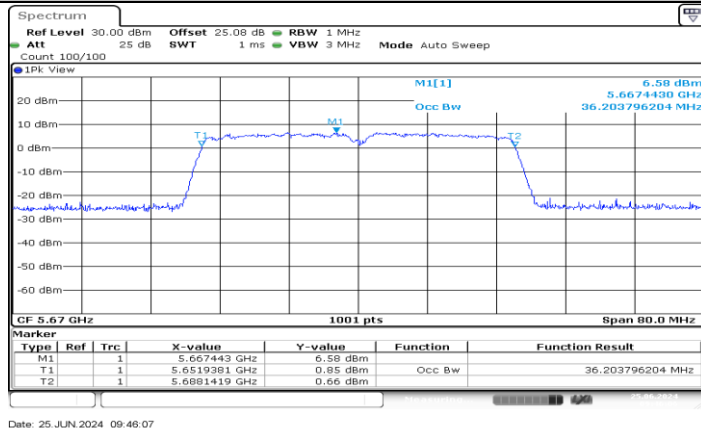
11AX40MIMO_Ant2_5510



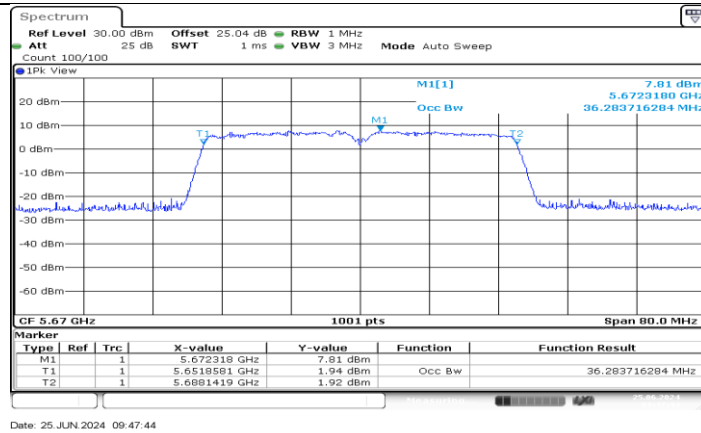
11AX40MIMO_Ant1_5550



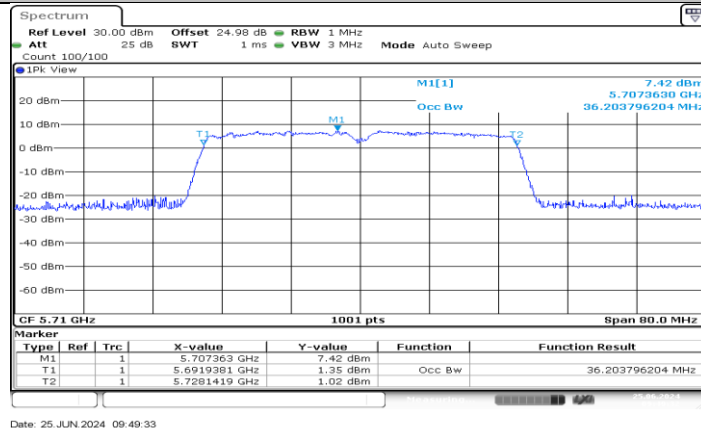
11AX40MIMO_Ant2_5550



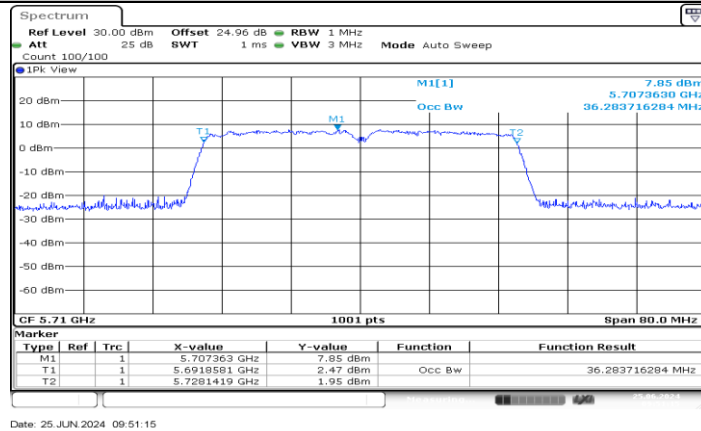
11AX40MIMO_Ant1_5670



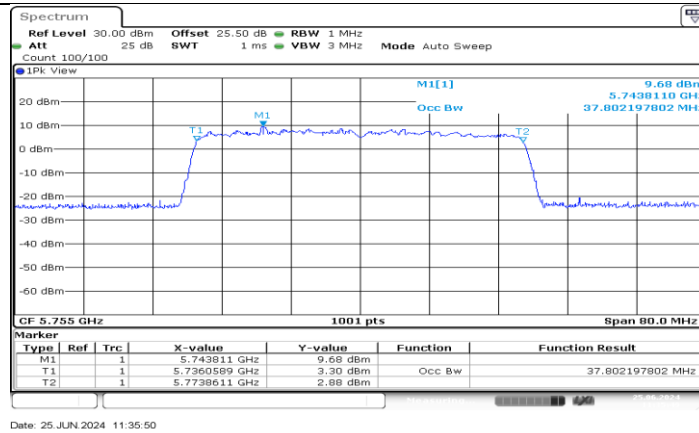
11AX40MIMO_Ant2_5670



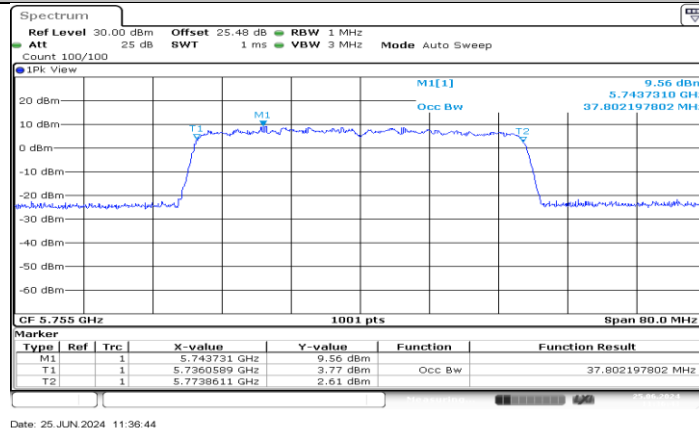
11AX40MIMO_Ant1_5710



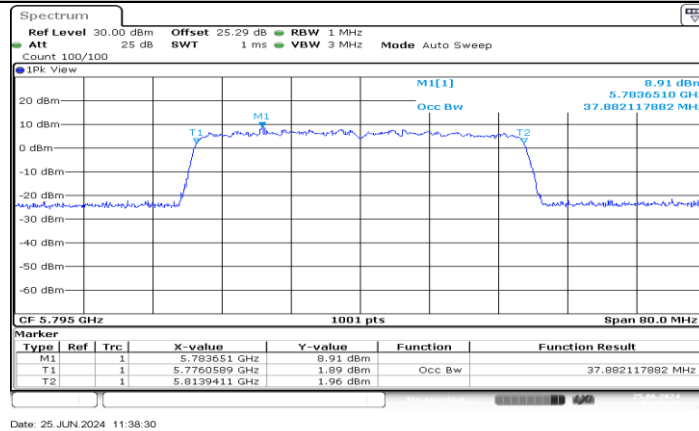
11AX40MIMO_Ant2_5710



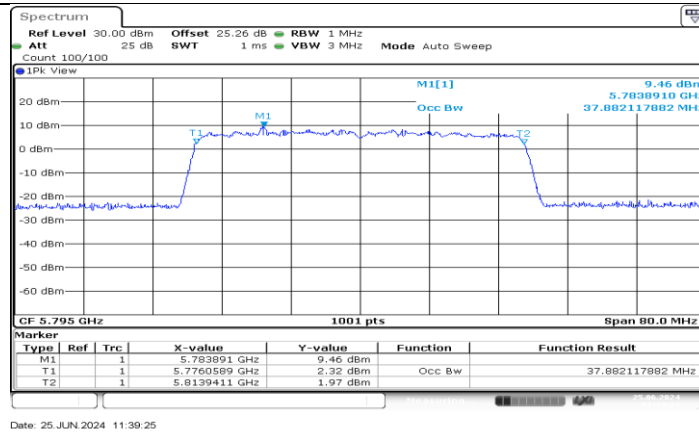
11AX40MIMO_Ant1_5755



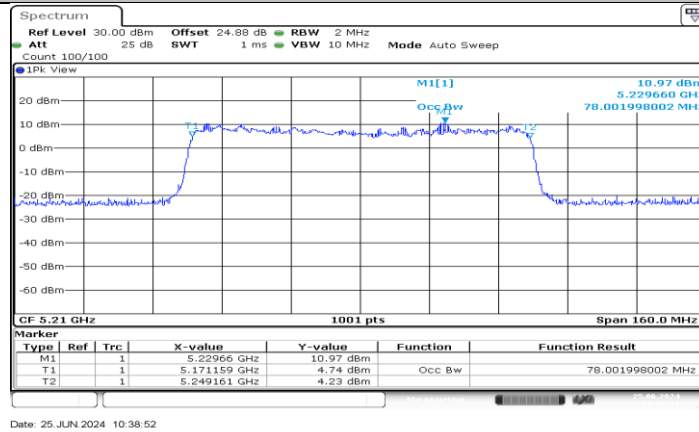
11AX40MIMO_Ant2_5755



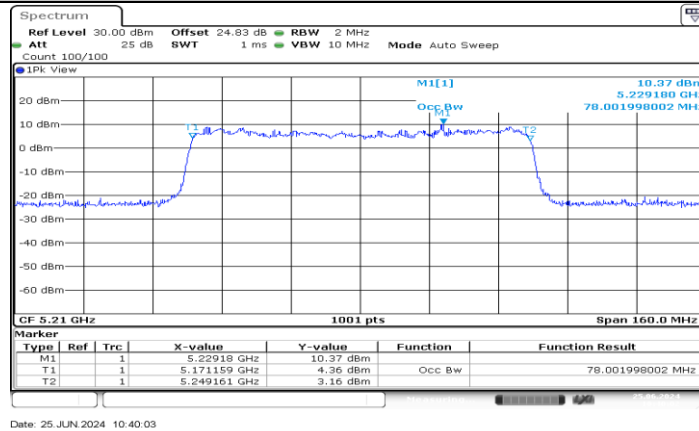
11AX40MIMO_Ant1_5795



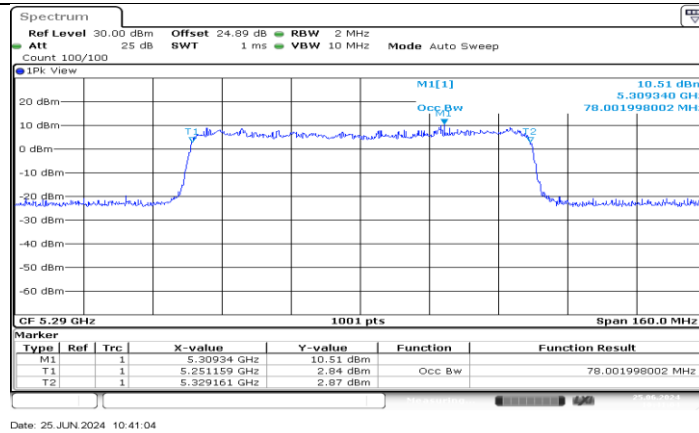
11AX40MIMO_Ant2_5795



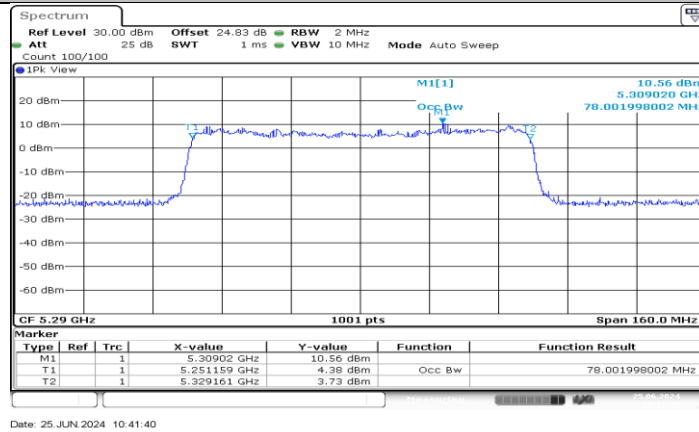
11AX80MIMO_Ant1_5210



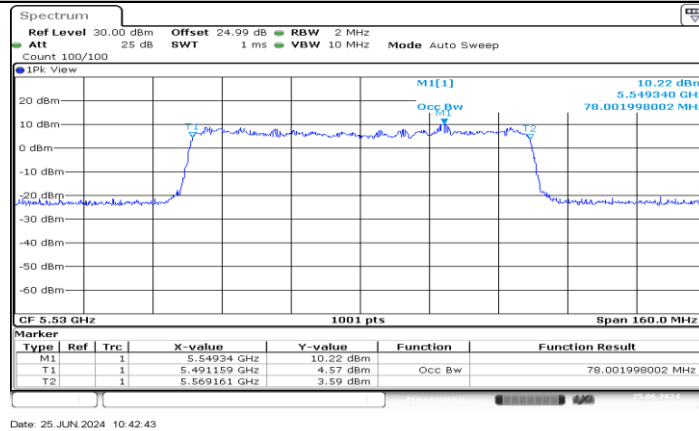
11AX80MIMO_Ant2_5210



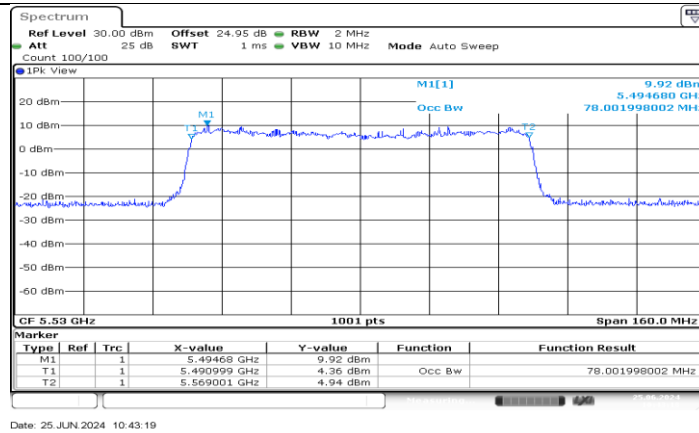
11AX80MIMO_Ant1_5290



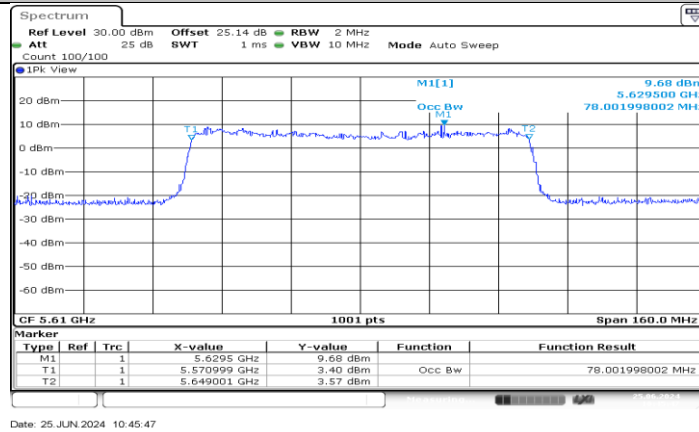
11AX80MIMO_Ant2_5290



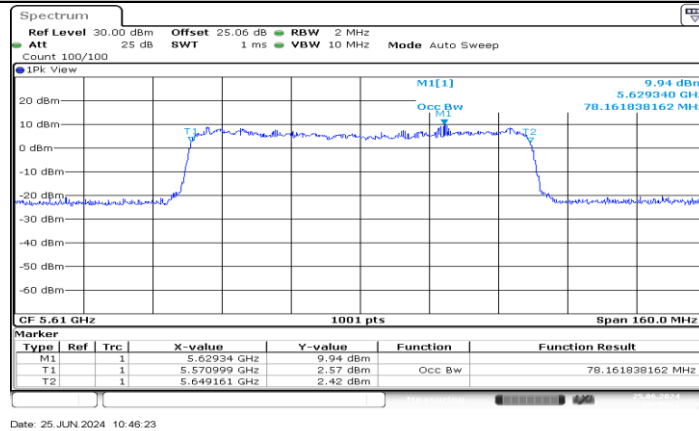
11AX80MIMO_Ant1_5530



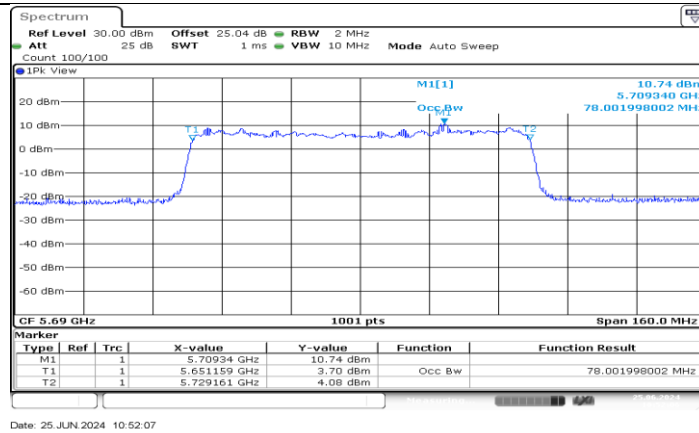
11AX80MIMO_Ant2_5530



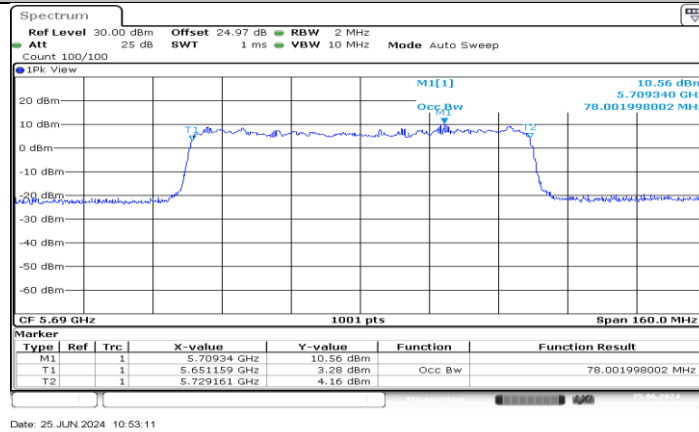
11AX80MIMO_Ant1_5610



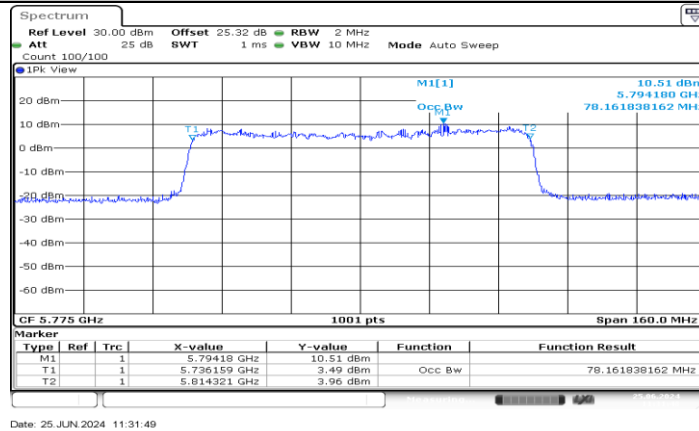
11AX80MIMO_Ant2_5610



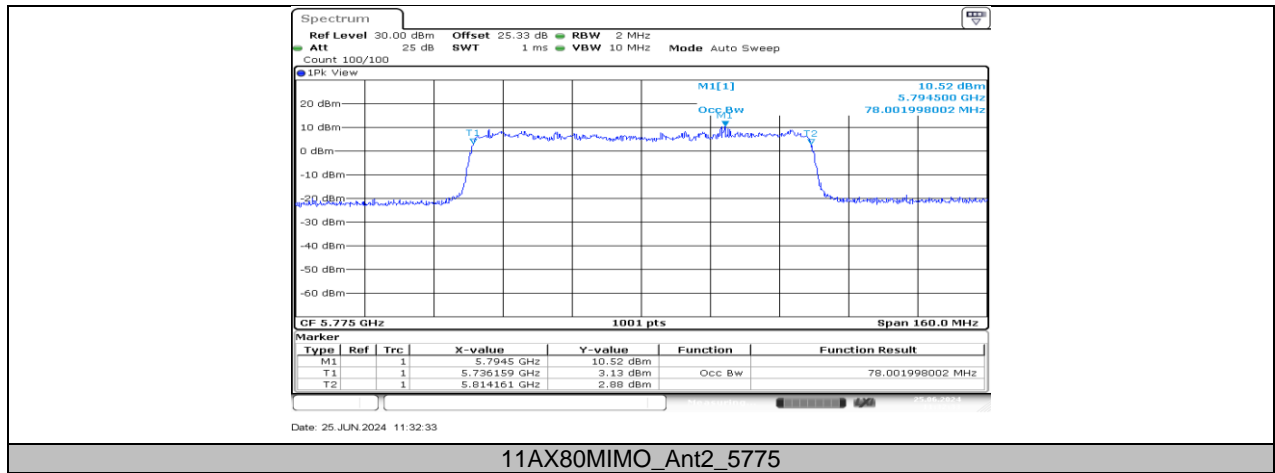
11AX80MIMO_Ant1_5690



11AX80MIMO_Ant2_5690



11AX80MIMO_Ant1_5775



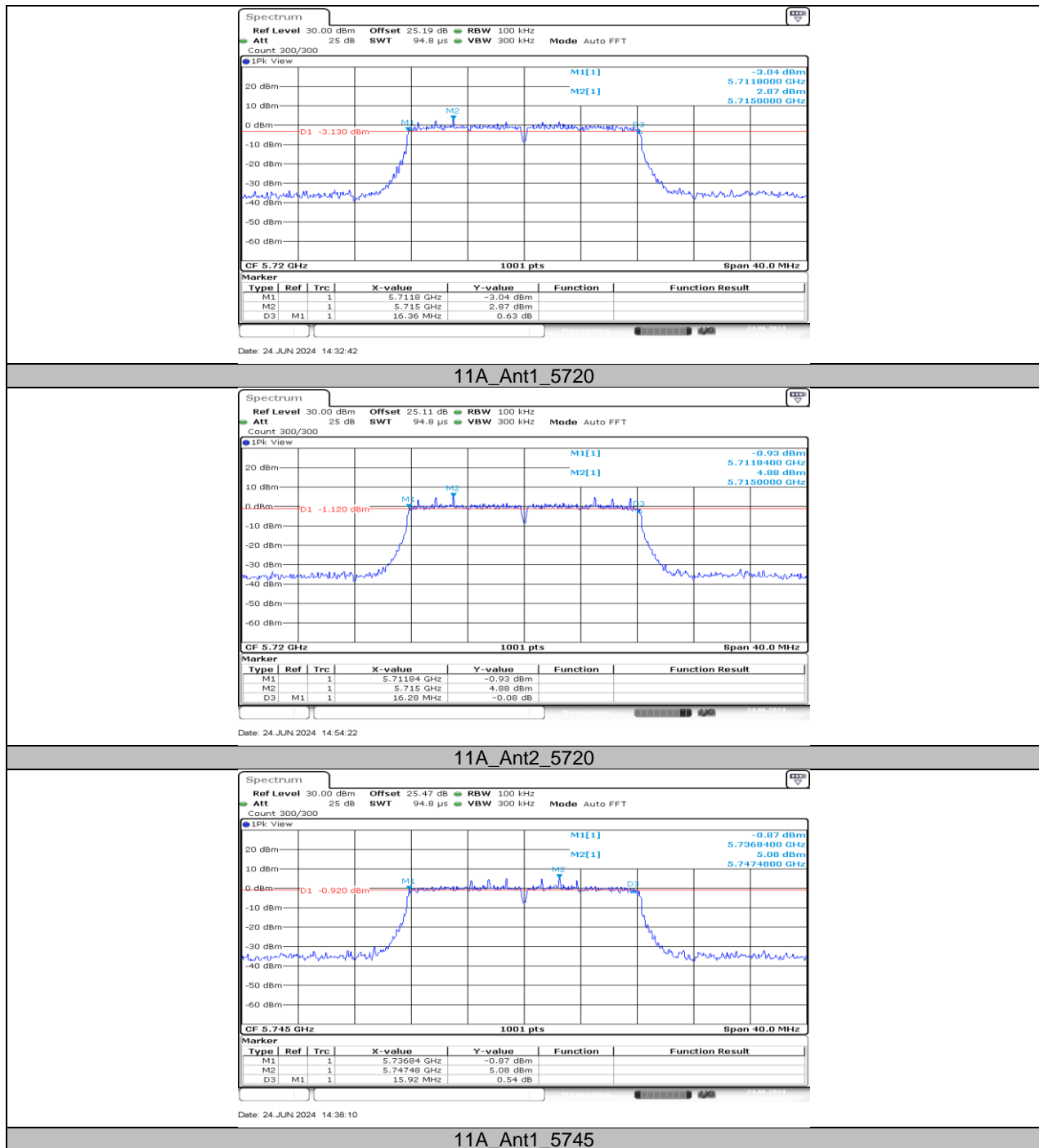
11.3. APPENDIX C: MIN EMISSION BANDWIDTH

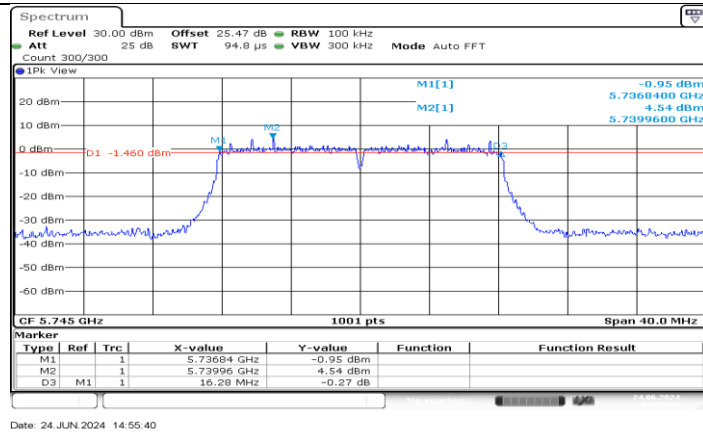
11.3.1. Test Result

Test Mode	Antenna	Frequency[MHz]	6db EBW [MHz]	FL[MHz]	FH[MHz]	Limit[MHz]	Verdict
11A	Ant1	5720	16.36	5711.80	5728.16	≥0.5	PASS
	Ant2	5720	16.28	5711.84	5728.12	≥0.5	PASS
	Ant1	5720_UNII-3	3.16	5725	5728.16	≥0.5	PASS
	Ant2	5720_UNII-3	3.12	5725	5728.12	≥0.5	PASS
	Ant1	5745	15.92	5736.84	5752.76	≥0.5	PASS
	Ant2	5745	16.28	5736.84	5753.12	≥0.5	PASS
	Ant1	5785	16.28	5776.84	5793.12	≥0.5	PASS
	Ant2	5785	16.28	5776.84	5793.12	≥0.5	PASS
	Ant1	5825	16.28	5816.84	5833.12	≥0.5	PASS
11N20MIMO	Ant2	5825	16.36	5816.80	5833.16	≥0.5	PASS
	Ant1	5720	16.84	5711.76	5728.60	≥0.5	PASS
	Ant2	5720	17.24	5711.24	5728.48	≥0.5	PASS
	Ant1	5720_UNII-3	3.6	5725	5728.60	≥0.5	PASS
	Ant2	5720_UNII-3	3.48	5725	5728.48	≥0.5	PASS
	Ant1	5745	17.08	5736.52	5753.60	≥0.5	PASS
	Ant2	5745	16.00	5737.04	5753.04	≥0.5	PASS
	Ant1	5785	16.00	5777.04	5793.04	≥0.5	PASS
	Ant2	5785	17.56	5776.20	5793.76	≥0.5	PASS
11N40MIMO	Ant1	5825	16.20	5817.00	5833.20	≥0.5	PASS
	Ant2	5825	16.56	5816.76	5833.32	≥0.5	PASS
	Ant1	5710	35.20	5692.40	5727.60	≥0.5	PASS
	Ant2	5710	35.44	5692.16	5727.60	≥0.5	PASS
	Ant1	5710_UNII-3	2.6	5725	5727.60	≥0.5	PASS
	Ant2	5710_UNII-3	2.6	5725	5727.60	≥0.5	PASS
	Ant1	5755	35.44	5737.16	5772.60	≥0.5	PASS
	Ant2	5755	35.36	5737.16	5772.52	≥0.5	PASS
	Ant1	5795	35.44	5777.16	5812.60	≥0.5	PASS
11AC80MIMO	Ant2	5795	35.44	5777.16	5812.60	≥0.5	PASS
	Ant1	5690	75.36	5652.40	5727.76	≥0.5	PASS
	Ant2	5690	75.84	5652.40	5728.24	≥0.5	PASS
	Ant1	5690_UNII-3	2.76	5725	5727.76	≥0.5	PASS
	Ant2	5690_UNII-3	3.24	5725	5728.24	≥0.5	PASS
	Ant1	5775	75.52	5737.40	5812.92	≥0.5	PASS
	Ant2	5775	75.20	5737.40	5812.60	≥0.5	PASS
	Ant1	5720	18.48	5710.88	5729.36	≥0.5	PASS
	Ant2	5720	17.48	5711.60	5729.08	≥0.5	PASS
11AX20MIMO	Ant1	5720_UNII-3	4.36	5725	5729.36	≥0.5	PASS
	Ant2	5720_UNII-3	4.08	5725	5729.08	≥0.5	PASS
	Ant1	5745	17.96	5736.04	5754.00	≥0.5	PASS
	Ant2	5745	17.68	5736.32	5754.00	≥0.5	PASS
	Ant1	5785	19.00	5775.48	5794.48	≥0.5	PASS
	Ant2	5785	18.12	5775.88	5794.00	≥0.5	PASS
	Ant1	5825	17.32	5816.48	5833.80	≥0.5	PASS
	Ant2	5825	17.64	5816.36	5834.00	≥0.5	PASS
	Ant1	5710	35.20	5692.40	5727.60	≥0.5	PASS
11AX40MIMO	Ant1	5710_UNII-3	2.6	5725	5727.60	≥0.5	PASS
		5755	37.12	5736.52	5773.64	≥0.5	PASS
		5755	36.24	5737.40	5773.64	≥0.5	PASS
	Ant2	5755	35.28	5777.32	5812.60	≥0.5	PASS
	Ant1	5795	37.28	5776.36	5813.64	≥0.5	PASS
	Ant2	5795	37.28	5776.36	5813.64	≥0.5	PASS
11AX80MIMO	Ant1	5690	72.80	5655.76	5728.56	≥0.5	PASS
	Ant2	5690	76.32	5652.40	5728.72	≥0.5	PASS

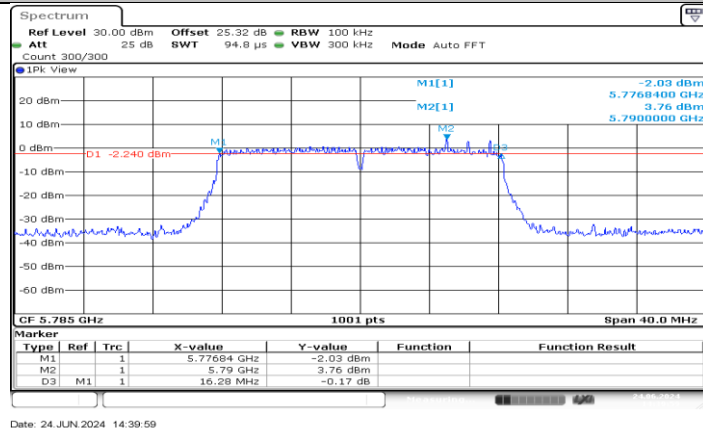
	Ant1	5690_UNII-3	3.56	5725	5728.56	≥0.5	PASS
	Ant2	5690_UNII-3	3.72	5725	5728.72	≥0.5	PASS
	Ant1	5775	75.68	5737.40	5813.08	≥0.5	PASS
	Ant2	5775	75.20	5737.40	5812.60	≥0.5	PASS

11.3.2. Test Graphs

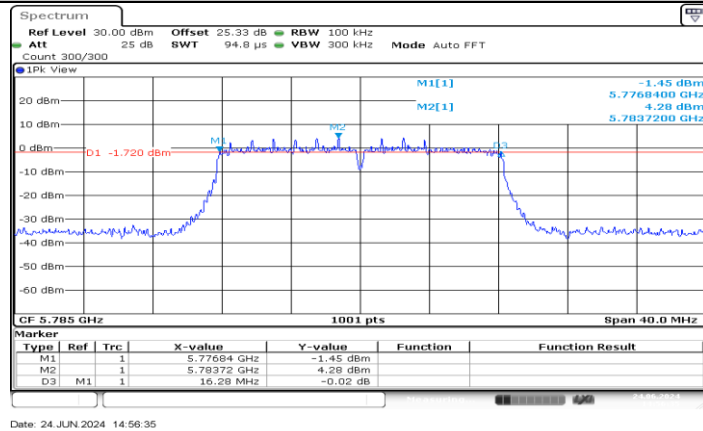




11A_Ant2_5745



11A_Ant1_5785



11A_Ant2_5785